

14 Signos de Neurorradiología.

Autores: Egullor Claudio, Avellaneda Agustin, Rojo Damian, Stancich Cristian, Garcia Pastor Nicolas, Surur alberto.

Sanatorio Allende. Córdoba. Argentina

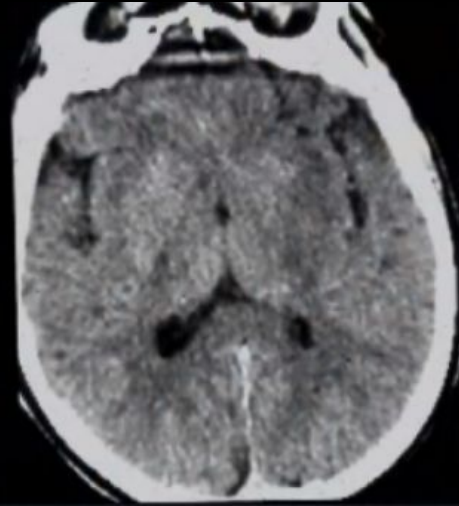


Congreso Internacional de
Diagnóstico por imágenes
de Córdoba

1-Signo de la ACM Hiperdensa + Signos Precoces de Stroke en Tomografía.



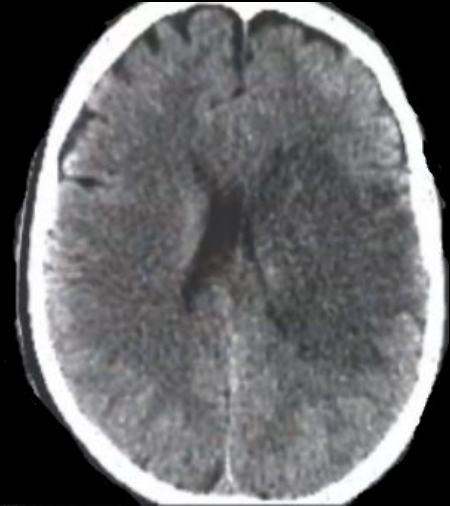
ACM Hiperdensa.



Borramiento de GB.

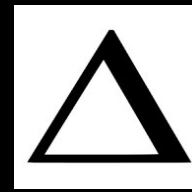


Pérdida del ribete insular.

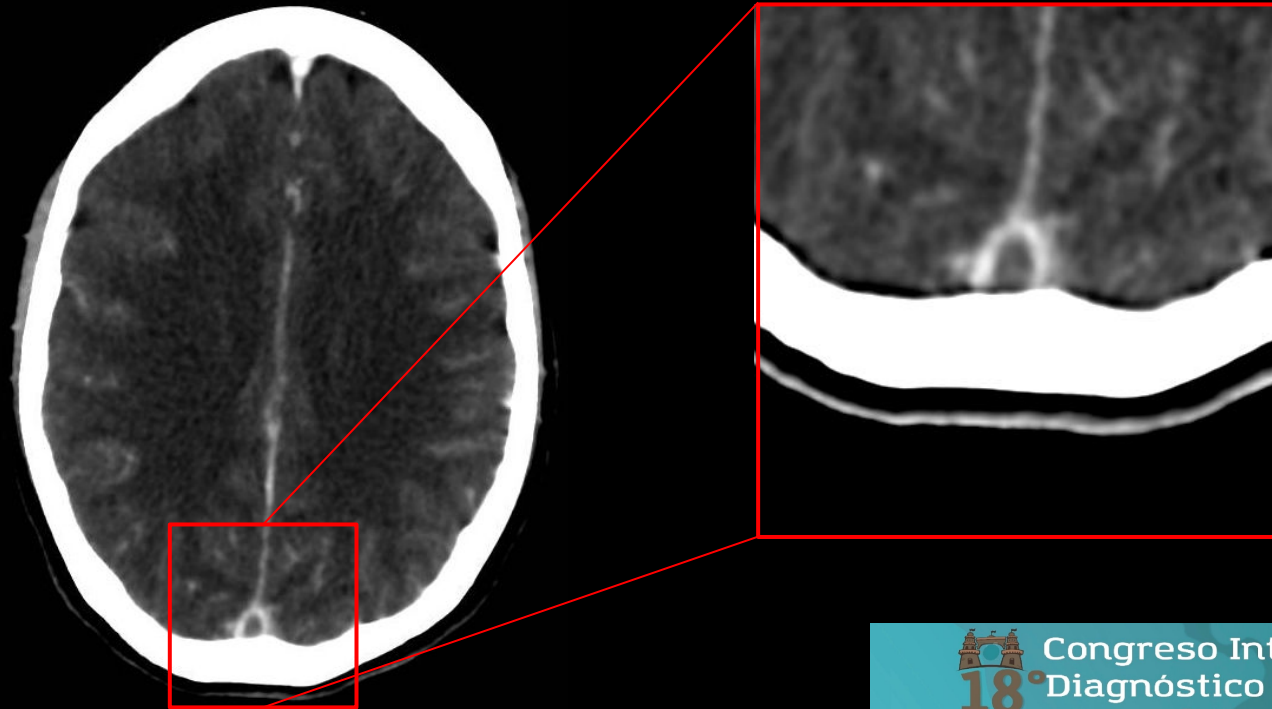


HipoDensidad.

2-Signo del Delta Vacío (Trombosis Venosa).



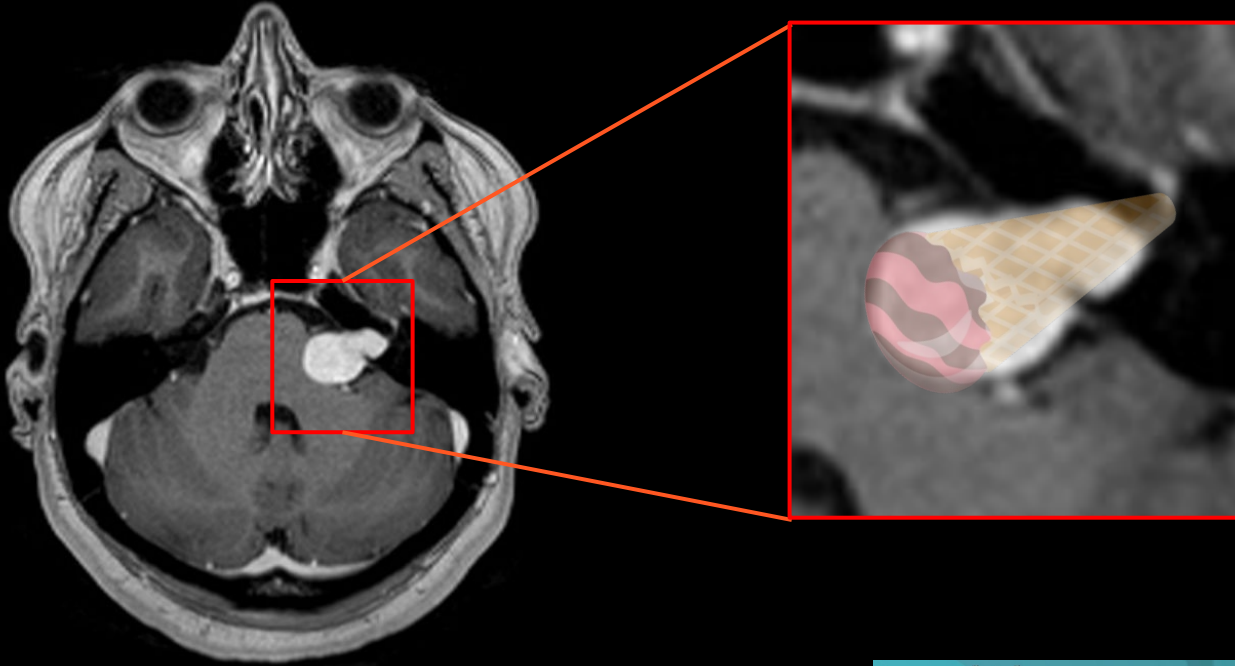
Defecto de llenado triangular, en la región del seno sagital superior, que se evidencia en tomografías de cerebro con contraste endovenoso.



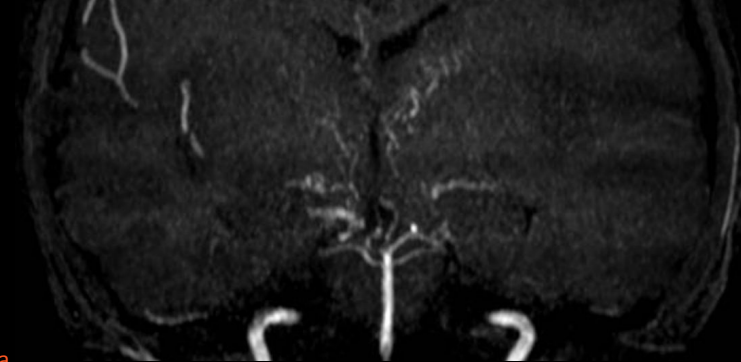
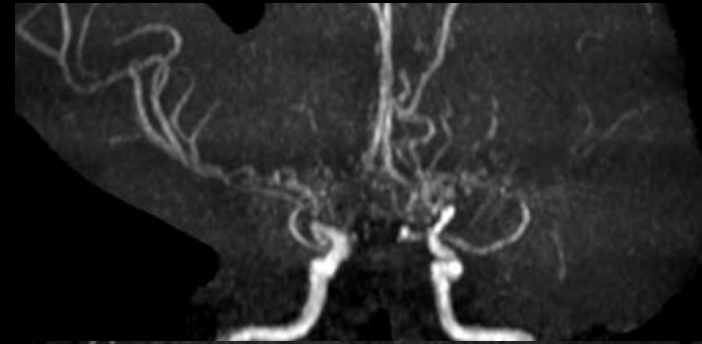
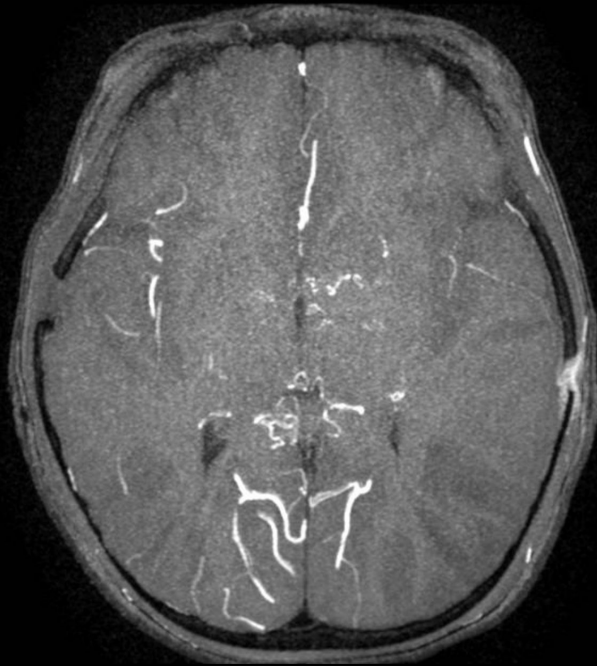
3-Signo del Cono de Helado (Neurinoma).



Se originan en la porción inferior de la vaina nerviosa de dicho par craneal, dentro del conducto auditivo interno, donde crecen lentamente erosionando el borde óseo del agujero acústico, en dirección hacia la cisterna pontocerebelosa. La RM muestra, marcado realce post-gadolinio.



4-Signo de la Bocanada de Humo (Moya-Moya).

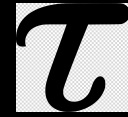


Angio RM de cerebro con reconstrucción 3D que muestra la neovascularización en la enfermedad de Moyamoya, simulando una "bocanada de humo".



Congreso Internacional de
18° Diagnóstico por imágenes
de Córdoba

5-Signo del Tau (Arteria Trigeminal Persistente).

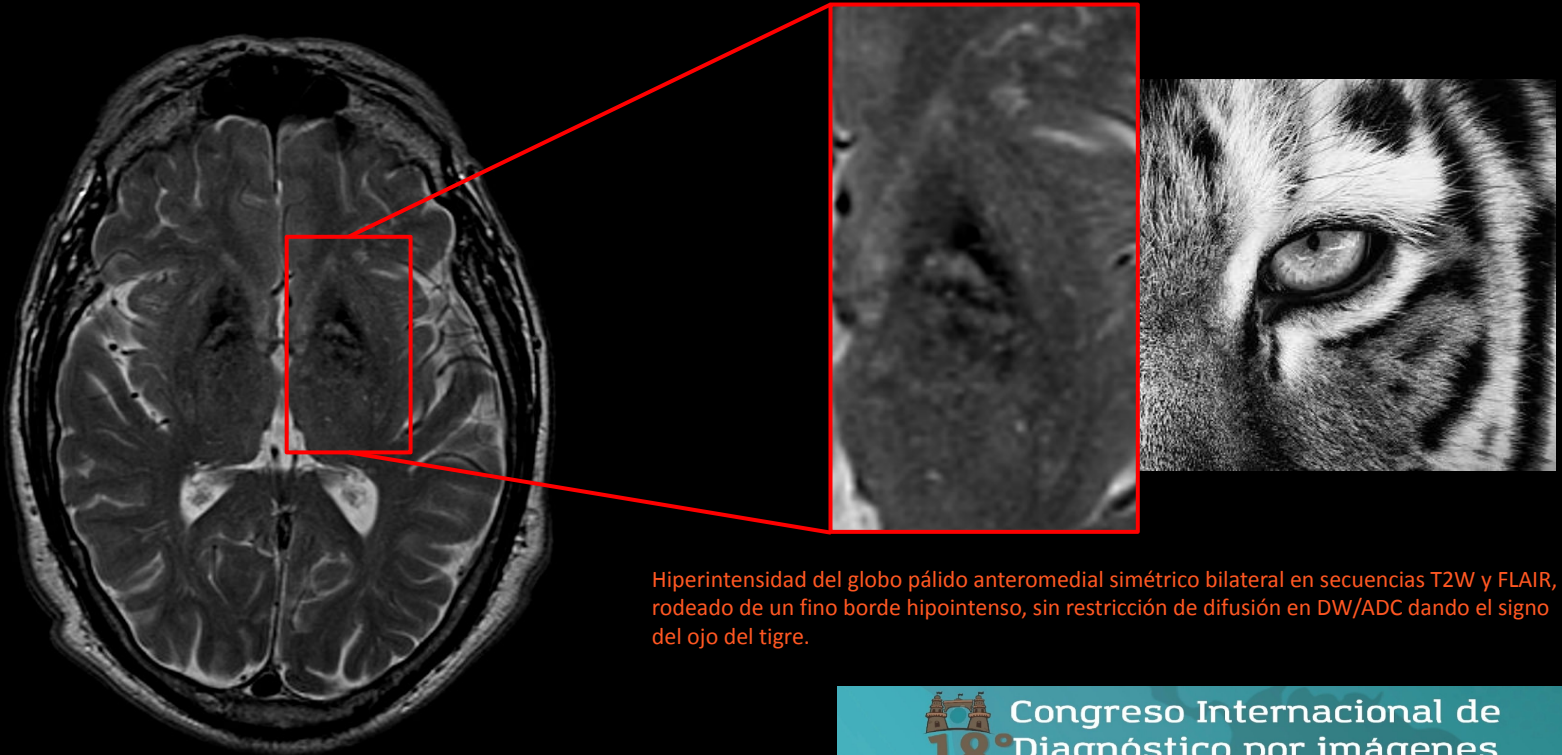


Configuración anormal de la ACI preselar en relación con una Arteria Trigeminal primitiva persistente (ATPP) vista en proyecciones sagitales de RM .



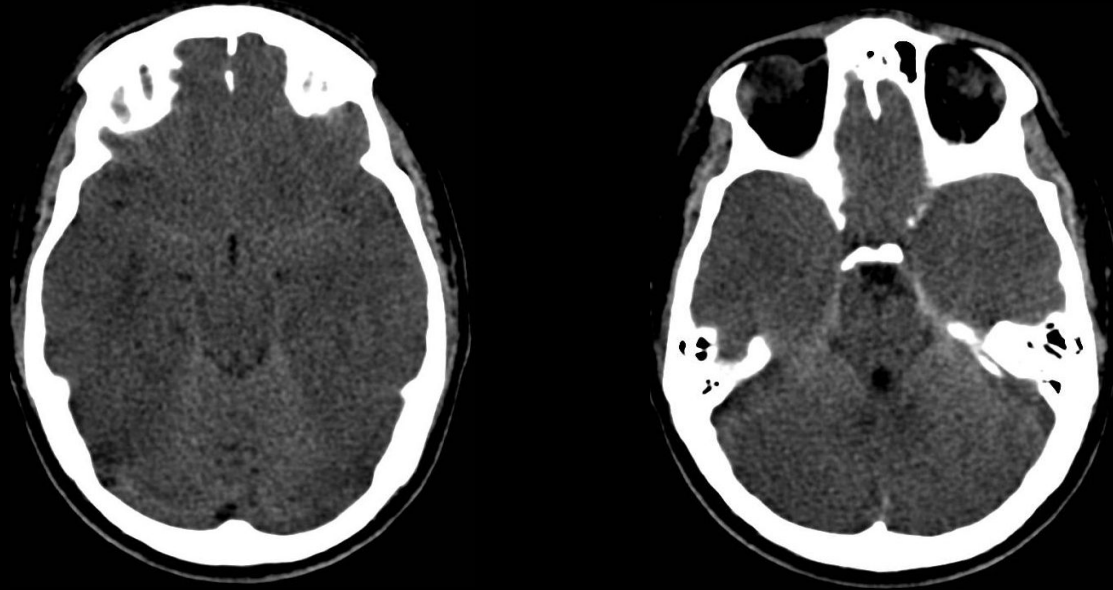
Congreso Internacional de
18° Diagnóstico por imágenes
de Córdoba

6-Signo del Ojo de Tigre (Neurodegeneración por acumulación anormal de hierro)



Hiperintensidad del globo pálido anteromedial simétrico bilateral en secuencias T2W y FLAIR, rodeado de un fino borde hipointenso, sin restricción de difusión en DW/ADC dando el signo del ojo del tigre.

7-Signo del Cerebelo Reverso + Pseudo Hemorragia Subaracnoidea (Encefalopatía Hipoxica Isquémica).

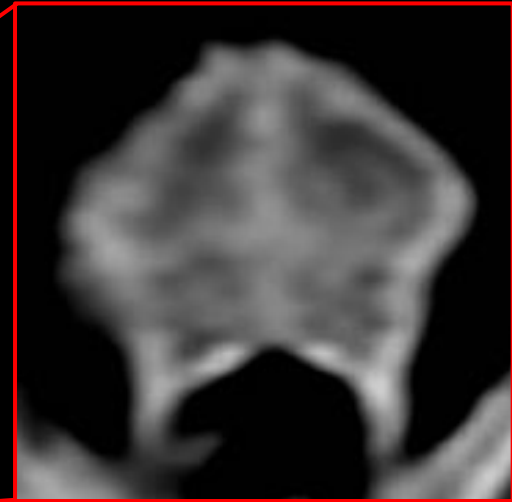
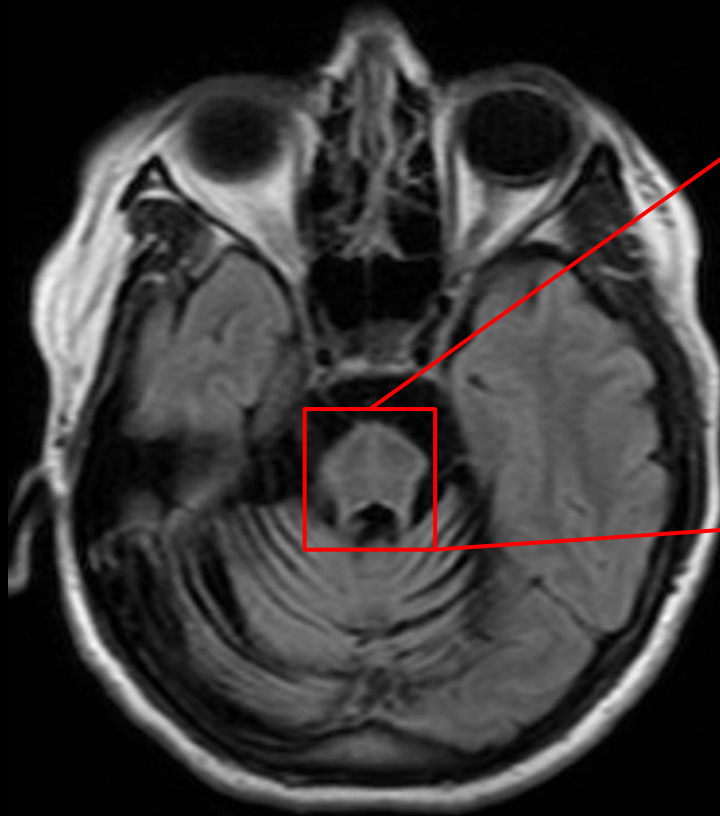


TC sin contraste: Disminución difusa en la densidad de los hemisferios cerebrales, con pérdida de diferenciación de la sustancia gris-blanca y un aumento relativo en la densidad del tálamo, el tronco encefálico y el cerebelo .



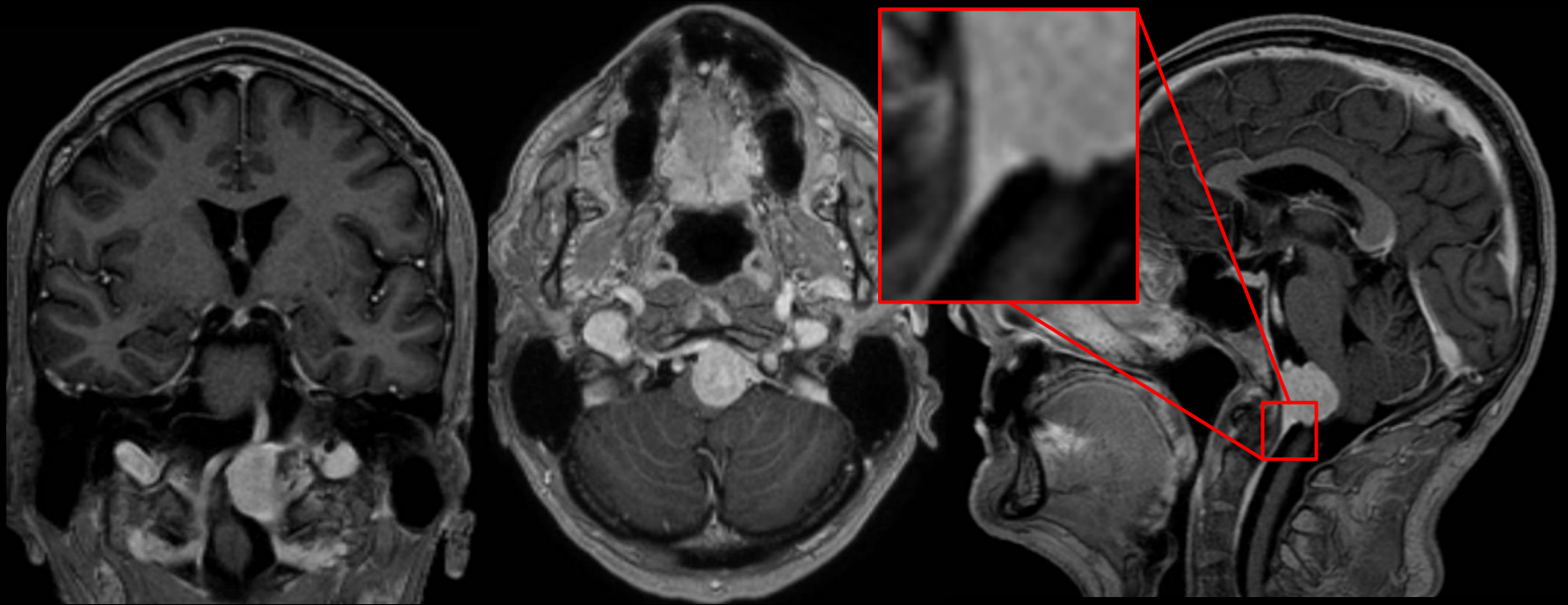
Congreso Internacional de
18° Diagnóstico por imágenes
de Córdoba

8-Signo de la Cruz (Atrofia Multisistémica).



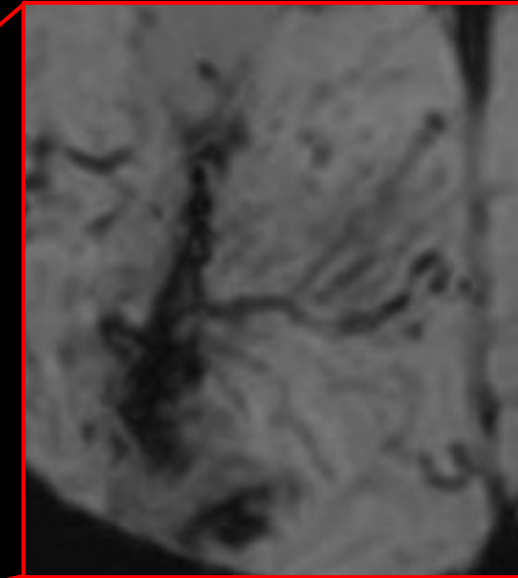
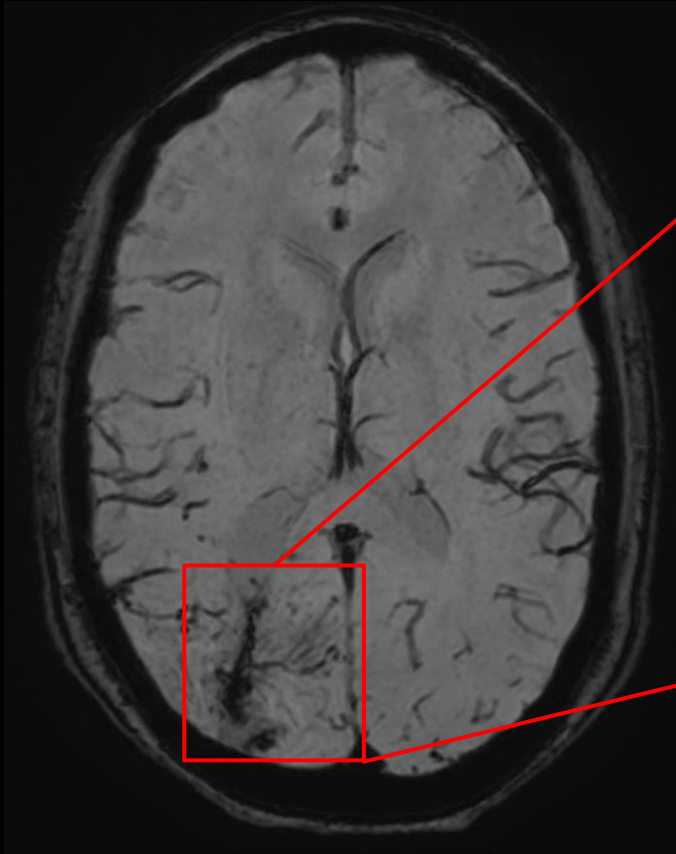
Hiperintensidad cruciforme de las protuberancias en las imágenes de resonancia magnética T1.

9-Signo de la Cola Dural (Meningioma).



RM T1 CC. Engrosamiento con marcado refuerzo de la duramadre en la región del ángulo pontocerebeloso izquierdo .

10-Signo de la Cabeza de Medusa (Anomalía Venosa del Desarrollo).

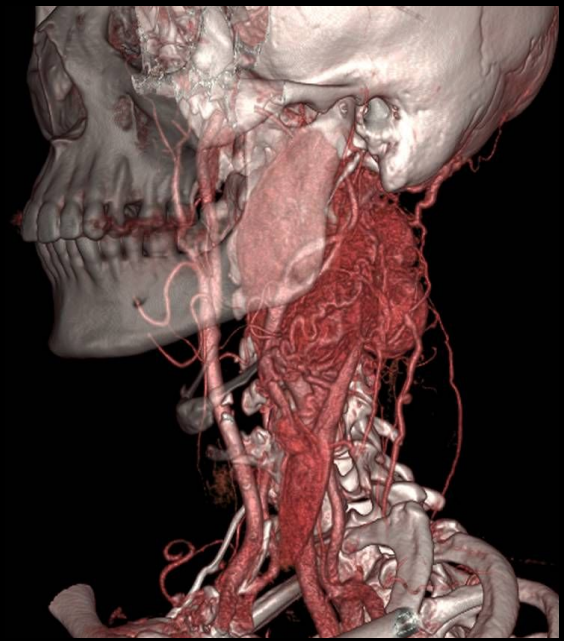
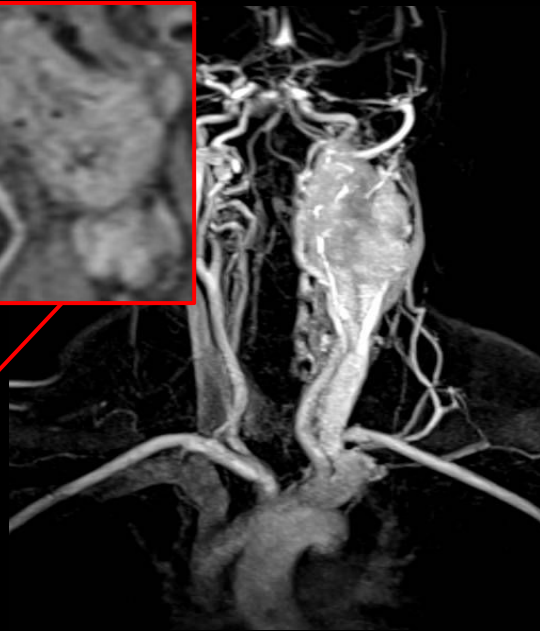
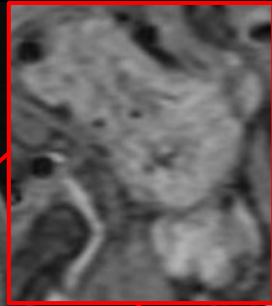
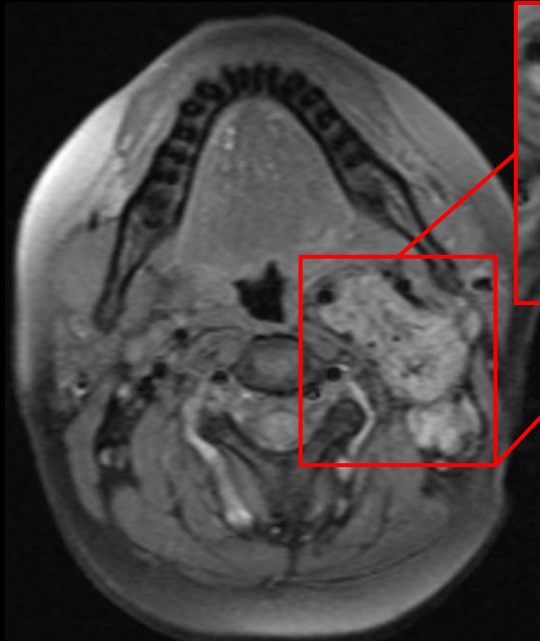


SWI: Múltiples afluentes dispuestos en forma radial drenan en una vena más grande.



Congreso Internacional de
18° Diagnóstico por imágenes
de Córdoba

11-Signo de la Sal y Pimienta (Paragangliomas).

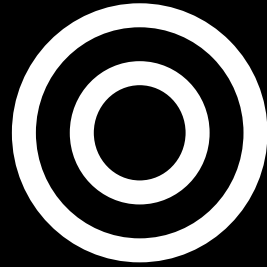


RM: lesión ocupante de espacio que se extiende desde la bifurcación carotídea hasta la base del cráneo. Se comporta isointensa en las secuencias de T1 y T2 presentando un intenso realce luego de inyección de contraste, con patrón en "sal y pimienta". La "pimienta" representa múltiples áreas de señal vacía de vasos y la 'sal' representa los focos hiperintensos debido a vasos de flujo lento o hemorragias en estos tumores hipervasculares.



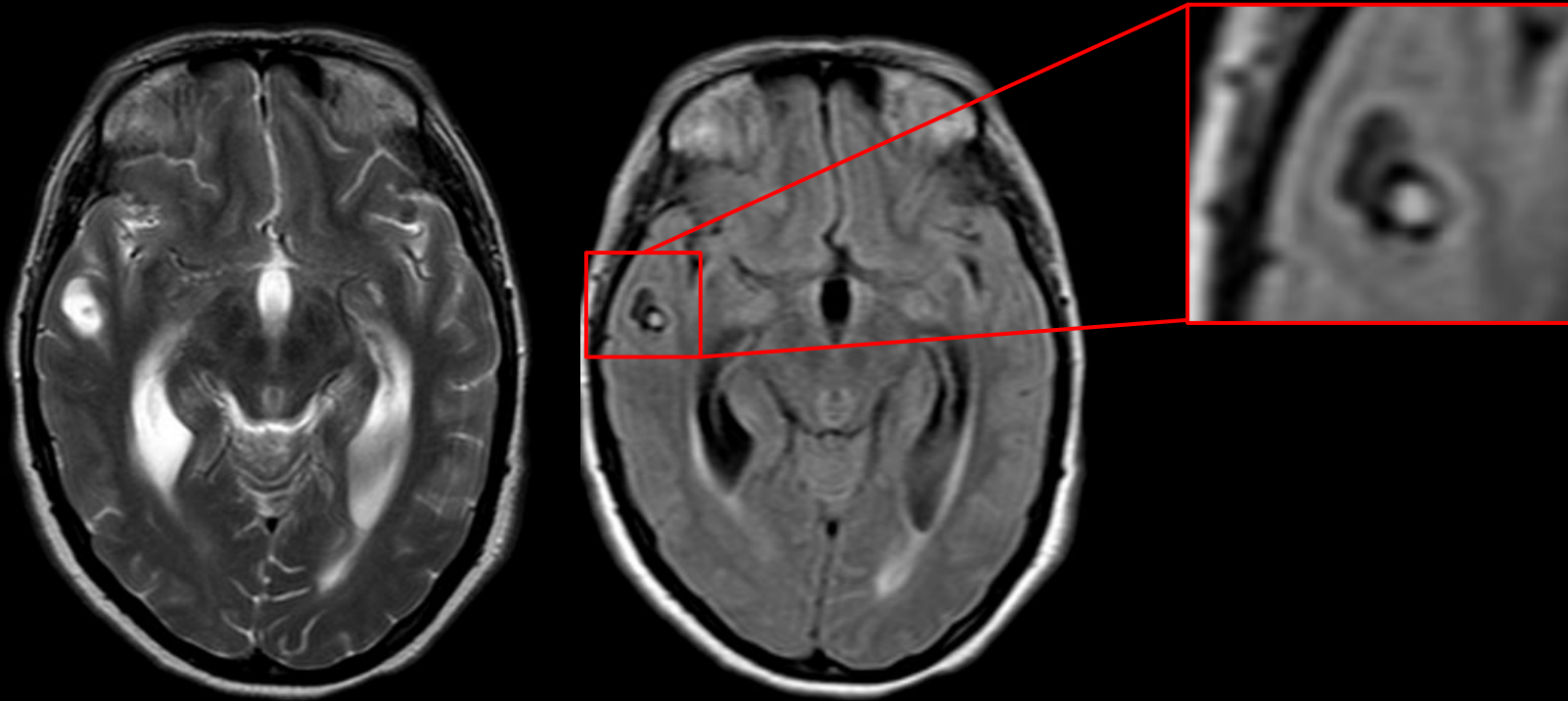
Congreso Internacional de
18° Diagnóstico por imágenes
de Córdoba

12-Signo de la Diana (Toxoplasmosis).



Secuencia T2 muestra lesión con signo de la diana a nivel del lóbulo temporal izquierdo, asociado a edema perilesional.

13-Signo del Punto (Neurocisticercosis).

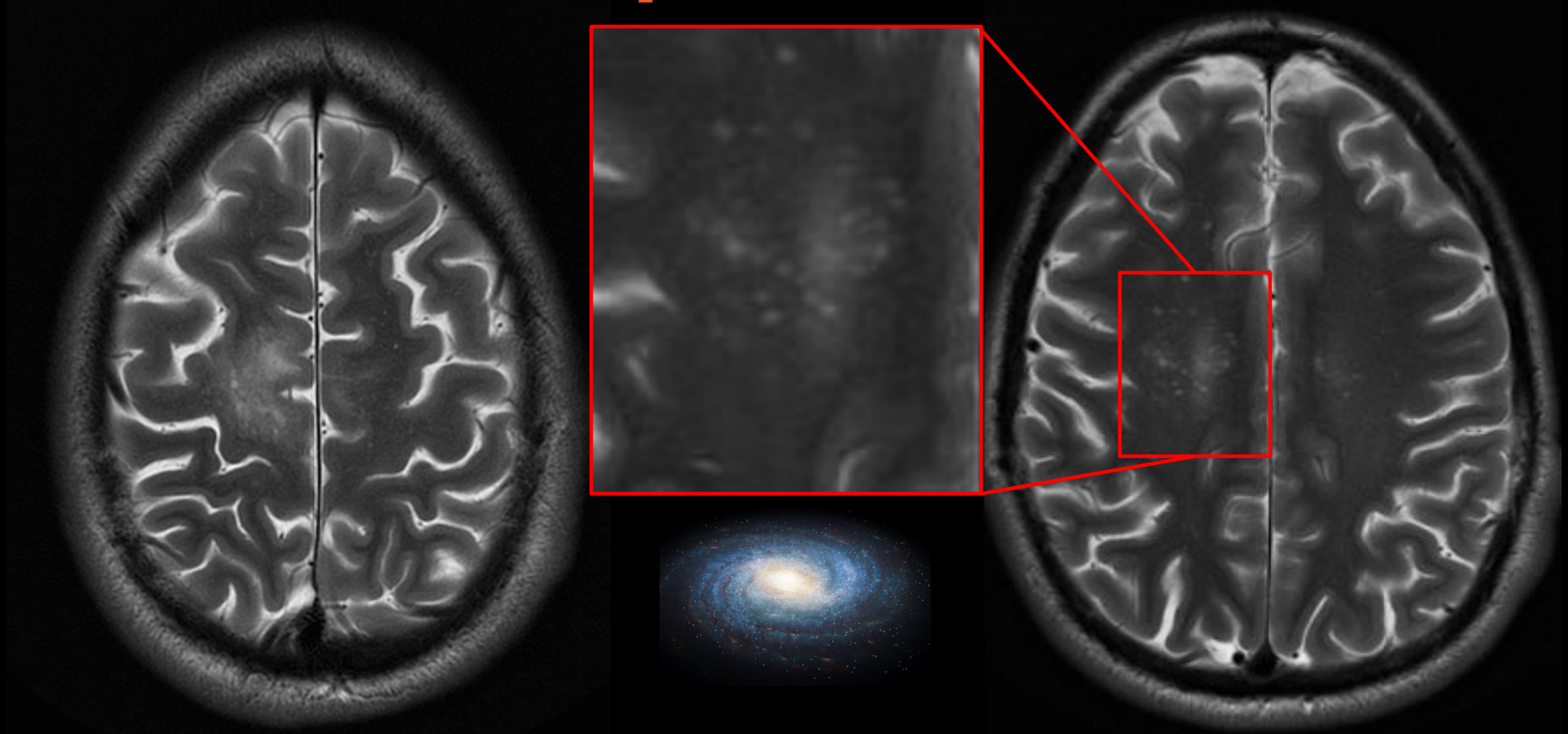


RM T2, FLAIR: Se ve pequeña lesión quística cortical parietal derecha con mínimo edema perilesional, realce anular y escólex visible en su interior.



Congreso Internacional de
18° Diagnóstico por imágenes
de Córdoba

14-Signo de la Vía Láctea (PML). Leucoencefalopatía multifocal progresiva .



RM T2: Múltiples imágenes puntiformes que rodean el componente principal de la lesión hiperintensa.



Congreso Internacional de
18° Diagnóstico por imágenes
de Córdoba

Bibliografía.

1. Lee EJ. Signs in Imaging: The Empty delta sign. *Radiology*. 2002;224:788–9.
2. Wallace EW. The dural tail sign. *Radiology*. 2004;233:56–7.
3. Lee C, Pennington MA, Kenney CM., 3rd ed MRI evaluation of developmental venous anomalies: Medullary venous anatomy of venous angiomas. *AJNR Am J Neuroradiol*. 1996;17:61–70.
4. Blaser SI. Holoprocencephaly. In: Osborn AG, editor. *Diagnostic imaging: Brain*. 1st ed. Amirsys Publishing Company; 2004. pp. 1-1-38–41.
5. Han BK, Towbin RB, De Courten-Myers G, McLaurin RL, Ball WS., Jr Reversal sign on CT scan: Effect of anoxic/ischemic cerebral injury in children. *AJNR Am J Neuroradiol*. 1989;10:1191–8.
6. Tomsick T, Brott T, Barsan W, Broderick J, Haley EC, Spilker J, et al. Prognostic value of the hyperdense middle cerebral artery sign and stroke scale score before ultra early thrombolytic therapy. *AJNR Am J Neuroradiol*. 1996;17:79–85.
7. Rao AB, Koeller KK, Adair CF. Paragangliomas of the head and neck: Radiologic-Pathologic correlation. *Radiographics*. 1999;19:1605–32.
8. Jacquemin C, Bosley TM, Svedberg H. Orbit deformities in craniofacial neurofibromatosis type 1. *Am J Neuroradiat*. 2003;24:1678.
9. Drew JM, Scott JA, Chua GT. General case of the day: Moyamoya syndrome in a child with sickle cell disease. *Radiographics*. 1993;13:483–4.
10. Guillerman RP. The eye-of-the-tiger sign. *Radiology*. 2002;217:895–6.
11. Cheon JE, Kim IO, Hwang YS, Kim KJ, Wang KC, Cho BK, et al. Leukodystrophy in children: A pictorial review of MRI imaging features. *Radiographics*. 2002;22:461–76.
12. Goyal M. The tau sign. *Radiology*. 2001;220:618–9.

